

## РАСЧЕТ ЧАСТОТНЫХ ХАРАКТЕРИСТИК ТРУБЧАТОГО РЕАКТОРА ПРИ МАЛОМ ВНУТРЕННЕМ ДИАМЕТРЕ ТРУБКИ

Ю.Ш.Матрос, В.В.Накрохин, В.С.Бесков

Целью настоящей работы является разработка методики расчета частотных характеристик трубчатых контактных аппаратов в случае, когда переходные режимы в них можно описывать моделью идеального вытеснения. Разработанная методика иллюстрируется на примере процесса окисления метанола в формальдегид на окисном катализаторе в опытном реакторе с внутренним диаметром трубки 14 мм.

## 1. Методика расчета частотных характеристик

Если температуру хладагента в межтрубном пространстве реактора можно принять одинаковой для всего объема и если перенос тепла стенкой трубки вдоль ее оси незначителен, то математическое описание нестационарных процессов в слое катализатора в виде модели идеального вытеснения записывается так:

$$\left. \begin{aligned} \frac{\partial \theta}{\partial \xi} + A_1 \frac{\partial \theta}{\partial t'} &= -A_2 (\theta - \theta_{cm}) + \sum_{i=1}^n \Delta \theta_{ag_i} K_i f_i(\theta, C_1, C_2, \dots, C_m) \\ \frac{\partial \theta_{cm}}{\partial t'} &= A_3 (\theta - \theta_{cm}) - A_4 (\theta_{cm} - \theta_x); \\ \frac{\partial C_i}{\partial \xi} + \varepsilon \frac{\partial C_i}{\partial t'} &= -K_i f_i(\theta, C_1, C_2, \dots, C_m); \end{aligned} \right\} /i/$$

$$\theta = \frac{T - T_0}{RT_0^2/E_1}; \quad \theta_{cm} = \frac{T_{cm} - T_0}{RT_0^2/E_1}; \quad \theta_x = \frac{T_x - T_0}{RT_0^2/E_1}; \quad i = 1, 2, \dots, m; n \leq m$$

$$A_1 = \frac{C_k + \varepsilon C_p}{C_p}; \quad A_2 = \frac{4\alpha_1 \tau_k}{C_p d}; \quad A_3 = \frac{4\alpha_1 d \cdot \tau_k}{(D^2 - d^2) C_{cm}};$$

$$A_4 = \frac{4D\alpha_1}{(D^2 - d^2) C_{cm}} \cdot \tau_k; \quad \xi = \frac{\tau}{\tau_k}; \quad t' = \frac{t}{\tau_k};$$

$$\Delta \theta_{ag_i} = \frac{\Delta T_{ag_i}}{RT_0^2/E_1}; \quad \Delta T_{ag_i} = \frac{q_i}{C_p}; \quad K_i = K_i(T_0) e^{\frac{\theta \eta_i}{1+b\theta}};$$

$$\eta_i = \frac{E_i}{E_1}; \quad K_i(T_0) = K_{i0} e^{-\frac{E_i}{RT_0}} \tau_k,$$

где

$T, T_{Bx}, T_{cm}, T_x$  - температуры в зоне реакции, на входе в реактор, стенки трубки и хладагента в межтрубном пространстве, соответственно, °К;  $R$  - универсальная газовая постоянная,  $R = 1,987 \frac{\text{кал}}{\text{моль} \cdot \text{град}}$

$E_i$  - энергия активации константы скорости  $i$ -й реакции;

$K_{i0}$  - предэкспоненты константы скорости  $i$ -й реакции;

$t$  - время,  $\tau$ ,  $\tau_k$  - текущее и общее условное время контакта;

$C_{cm}, C_k, C_p$  - теплоемкость металлической стенки трубки, катализатора и реакционной среды, соответственно;

$\alpha_1, \alpha_2$  - коэффициенты теплоотдачи реакционной среды к стенке трубки и хладагента к стенке, соответственно;

$d, D$  - внутренний и наружный диаметры трубки, соответственно;

$Q_i$  - тепловой эффект  $i$ -й реакции;

$f_i$  - кинетическая функция  $i$ -й реакции, скорость которой зависит от температуры и состава реакционной смеси, состоящей из  $m$  компонентов;

$C_1, C_2, \dots, C_m$  - концентрации соответствующих компонентов;  $n$  - число реакций,  $T_0$  - температура начало отсчета;

$\varepsilon$  - пористость слоя.

Недостающие  $m-n$  уравнений, необходимые для решения системы /1/, определяются для данной модели из балансных соотношений. Начальные условия для системы /1/ определяются из решения соответствующей стационарной задачи, получающейся из /1/ приравниванием производных по времени нулю, /при этом предполагается, что решение стационарной задачи существует/:

$$\theta(0, \xi) = \theta(\xi); C_i(0, \xi) = C_i(\xi) \quad /2/$$

при  $\xi = 0$  имеем:

$$\theta(t', 0) = \theta_{bx}(t'); C_i(t', 0) = C_{i,bx}(t') \quad /3/$$

После линеаризации системы /1/ в окрестности стационарного режима

/2/ можно записать:

$$\left. \begin{aligned} \frac{\partial \Delta \theta}{\partial \xi} + A_1 \frac{\partial \Delta \theta}{\partial t'} &= A_2 \Delta \theta_{cm} + B_0 \Delta \theta + \sum_{j=1}^m B_{0j} \Delta C_j; \\ \frac{\partial \Delta C_{cm}}{\partial t'} &= -(A_3 + A_4) \Delta \theta_{cm} + A_3 \Delta \theta + A_4 \Delta \theta_x; \\ \frac{\partial \Delta C_i}{\partial \xi} + \varepsilon \frac{\partial \Delta C_i}{\partial t'} &= -B_i \Delta \theta - \sum_{j=1}^m B_{ij} \Delta C_j; \end{aligned} \right\} /4/$$

$$B_0 = -A_2 + \frac{\partial}{\partial \theta} \left[ \sum_{i=1}^n \Delta \theta_{ag_i} K_i f_i \right] \Big|_{\theta = \theta^*, C = C^*};$$

$$B_{0,j} = \frac{\partial}{\partial C_j} \left[ \sum_{i=1}^n \Delta \theta_{ag_i} K_i f_i \right] \Big|_{\theta = \theta^*, C = C^*};$$

$$B_{i,j} = \frac{\partial}{\partial C_j} [K_i f_i] \Big|_{\theta = \theta^*, C = C^*}; B_i = \frac{\partial}{\partial \theta} [K_i f_i] \Big|_{\theta = \theta^*, C = C^*};$$

$$\Delta \theta = \theta(t', \xi) - \theta(\xi); \Delta C_i = C_i(t', \xi) - C_i(\xi);$$

$$\Delta \theta_{cm} = \theta_{cm}(t', \xi) - \theta_{cm}(\xi); \Delta \theta_x = \theta_x(t') - \theta_x(0),$$

причем  $\theta^*(\xi)$  определяет стационарное распределение температур по длине стенки трубки, а  $\theta_x(0)$  - температуру хладагента при  $t' \leq 0$ . Условия /2/ и /3/ преобразуются к виду:

$$\Delta\theta(0, \xi) = 0; \quad \Delta C_i(0, \xi) = 0, \quad /5/$$

$$\Delta\theta(t', 0) = \Delta\theta_{\theta x}; \quad \Delta C_i(t', 0) = \Delta C_{i, \theta x}. \quad /6/$$

В дальнейшем условимся входными параметрами в реактор называть температуру на входе  $\theta_{\theta x}$ , концентрации компонентов -  $C_i(t', 0)$  и температуру хладагента -  $\theta_x$  /возмущение в виде изменения линейной скорости, т.е.  $\tau_k$ , реакционной смеси здесь не рассматриваются/, выходными -  $\theta(t', \xi)$ ,  $C_j(t', \xi)$ .

Преобразуем систему /4/ с учетом начальных условий /5/ по Лапласу:

$$\left. \begin{aligned} \frac{d\Delta\bar{\theta}}{d\xi} &= A_2 \Delta\bar{\theta}_{cm} + (B_0 - A_1 S) \Delta\bar{\theta} + \sum_{j=1}^m B_{0,j} \Delta\bar{C}_j; \\ 0 &= -(A_3 + A_4 - S) \Delta\bar{\theta}_{cm} + A_3 \Delta\bar{\theta} + A_4 \Delta\bar{\theta}_x; \\ \frac{d\Delta\bar{C}_i}{d\xi} &= -B_i \Delta\bar{\theta} - \varepsilon S \Delta\bar{C}_i - \sum_{j=1}^m B_{i,j} \Delta\bar{C}_j, \end{aligned} \right\} /7/$$

где  $\Delta\bar{\theta}$  соответствует изображению функции  $\Delta\theta$ ,  $\Delta\bar{\theta}_{cm}$  -  $\Delta\theta_{cm}$  и т.д.,  $S$  - переменная Лапласа.

Начальными условиями для решения системы /7/ являются:

$$\Delta\theta(t', 0) = \Delta\theta_{\theta x}; \quad \Delta C_i(t', 0) = \Delta C_{i, \theta x}. \quad /8/$$

Пусть необходимо определить частотные характеристики системы по температуре на входе в реактор. Для этого разделим все члены системы /7/ и условий /8/ на  $\Delta\bar{\theta}_{\theta x}$ :

$$\left. \begin{aligned} \frac{dW_{\Delta\theta}}{d\xi} &= A_2 W_{\Delta\theta_{cm}} + (B_0 - A_1 S) W_{\Delta\theta} + \sum_{j=1}^m B_{0,j} W_{\Delta C_j}; \\ \theta &= -(A_3 + A_4 - S) W_{\Delta\theta_{cm}} + A_3 W_{\Delta\theta}; \\ \frac{dW_{\Delta C_i}}{d\xi} &= -B_i W_{\Delta\theta} - \varepsilon S W_{\Delta C_i} - \sum_{j=1}^m B_{i,j} W_{\Delta C_j}; \end{aligned} \right\} /9/$$

$$W_{\Delta\theta}(0) = 1; \quad W_{\Delta C_i}(0) = 0. \quad /10/$$

где  $W_{\Delta\theta} = \frac{\Delta\bar{\theta}}{\Delta\bar{\theta}_{\theta x}}$ ;  $W_{\Delta\theta_{cm}} = \frac{\Delta\bar{\theta}_{cm}}{\Delta\bar{\theta}_{\theta x}}$  и т.д. - передаточные функции по каналам  $\Delta\theta - \Delta\theta_{\theta x}$ ,  $\Delta\theta_{cm} - \Delta\theta_{\theta x}$  и т.д.

На основании свойства коммутативности преобразования Лапласа относительно символических операций  $Re$  и  $Im$  любая передаточная функция может быть представлена в виде:

$$W(s, \xi) = Re[W(\omega, \xi)] + i Im[W(\omega, \xi)], \quad /11/$$

где  $Re[W(\omega, \xi)]$  - вещественная, а  $Im[W(\omega, \xi)]$  - мнимая частотные ха-

характеристики,  $\omega$  - частота.

Для расчета исходной частотной характеристики в /9/ положим  $S = i\omega$ , отделим действительные части от мнимой, используя соотношение /11/:

$$\begin{aligned} \frac{d \operatorname{Re} [W_{\Delta \theta}]}{d\xi} &= A_2 \operatorname{Re} [W_{\Delta \theta \text{ см}}] + B_0 \operatorname{Re} [W_{\Delta \theta}] + \\ &+ A_1 \omega \operatorname{Im} [W_{\Delta \theta}] + \sum_{j=1}^m B_{0,j} \operatorname{Re} [W_{\Delta C_j}]; \\ \frac{d \operatorname{Im} [W_{\Delta \theta}]}{d\xi} &= A_2 \operatorname{Im} [W_{\Delta \theta \text{ см}}] - A_1 \omega \operatorname{Re} [W_{\Delta \theta}] + \\ &+ B_0 \operatorname{Im} [W_{\Delta \theta}] + \sum_{j=1}^m B_{0,j} \operatorname{Im} [W_{\Delta C_j}]; \end{aligned}$$

$$0 = -(A_3 + A_4) \operatorname{Re} [W_{\Delta \theta \text{ см}}] + \omega \operatorname{Im} [W_{\Delta \theta \text{ см}}] + A_3 \operatorname{Re} [W_{\Delta \theta}]$$

$$0 = -(A_3 + A_4) \operatorname{Im} [W_{\Delta \theta \text{ см}}] + \omega \operatorname{Re} [W_{\Delta \theta \text{ см}}] + A_3 \operatorname{Im} [W_{\Delta \theta}] \quad \text{/12/}$$

$$\begin{aligned} \frac{d \operatorname{Re} [W_{\Delta C_i}]}{d\xi} &= -B_i \operatorname{Re} [W_{\Delta \theta}] + \varepsilon \omega \operatorname{Im} [W_{\Delta C_i}] - \\ &- \sum_{j=1}^m B_{i,j} \operatorname{Re} [W_{\Delta C_j}]; \end{aligned}$$

$$\begin{aligned} \frac{d \operatorname{Im} [W_{\Delta C_i}]}{d\xi} &= -B_i \operatorname{Im} [W_{\Delta \theta}] - \varepsilon \omega \operatorname{Re} [W_{\Delta C_i}] - \\ &- \sum_{j=1}^m B_{i,j} \operatorname{Im} [W_{\Delta C_j}]; \end{aligned}$$

Начальные условия:

$$\operatorname{Re} [W_{\Delta \theta} (0)] = 1; \quad \operatorname{Im} [W_{\Delta \theta} (0)] = 0;$$

$$\operatorname{Re} [W_{\Delta C_i} (0)] = 0; \quad \operatorname{Im} [W_{\Delta C_i} (0)] = 0. \quad \text{/13/}$$

Таким образом, получена система из  $2(m+2)$  линейных дифференциальных уравнений с переменными коэффициентами, которая решается на цифровой вычислительной машине известными методами /например, Рунге-Кутты/.

## 2. Частотные характеристики процесса окисления метанола

В работе /1/ приведено математическое описание нестационарного процесса в трубчатом реакторе для окисления метилового спирта на окисных катализаторах:

$$\left. \begin{aligned} \frac{\partial \theta}{\partial \xi} + A_1 \frac{\partial \theta}{\partial t'} &= -A_2(\theta - \theta_{cm}) + \Delta \theta_{ag_1} \cdot K_1' C_0 (1-x) + \\ &+ \Delta \theta_{ag_2} \cdot K_2' C_0 \frac{y}{1 + a C_0 x} ; \\ \frac{\partial \theta_{cm}}{\partial t'} &= A_3(\theta - \theta_{cm}) - A_4(\theta_{cm} - \theta_x) ; \\ \frac{\partial x}{\partial \xi} + \varepsilon \frac{\partial x}{\partial t'} &= K_1' (1-x) ; \\ \frac{\partial y}{\partial \xi} + \varepsilon \frac{\partial y}{\partial t'} &= K_1' (1-x) - K_2' \frac{y}{1 + a C_0 x} ; \end{aligned} \right\} /14/$$

$$\theta = \frac{T - T_0}{RT_0^2/E_1} ; \theta_{cm} = \frac{T_{cm} - T_0}{RT_0^2/E_1} ; \theta_x = \frac{T_x - T_0}{RT_0^2/E_1} ;$$

$$A_1 = \frac{c_k + \varepsilon c_p}{c_p} ; A_2 = \frac{4\alpha_1}{c_p d} \tau_k ; A_3 = \frac{4d\alpha_1}{(D^2 - d^2)C_{cm}} \tau_k ;$$

$$A_4 = \frac{4D\alpha_2}{(D^2 - d^2)C_{cm}} \tau_k ; \xi = \frac{\tau}{\tau_k} ; t' = \frac{t}{\tau_k} ;$$

$$\Delta \theta_{ag_1} = \frac{\Delta T_{ag_1}}{RT_0^2/E_1} ; \Delta \theta_{ag_2} = \frac{\Delta T_{ag_2}}{RT_0^2/E_1} ; \Delta T_{ag_1} = \frac{q_1 \cdot 0,01}{c_p} ;$$

$$\Delta T_{ag_2} = \frac{q_2 \cdot 0,01}{c_p} ; K_1' = K_1(T_0) e^{\frac{\theta_0}{1+b\theta}} ; K_1(T_0) = K_{10} \cdot e^{-\frac{E_1}{RT_0} \tau_k} ;$$

$$K_2' = K_2(T_0) e^{-\frac{\theta_0}{1+b\theta}} ; K_2(T_0) = K_{20} e^{-\frac{E_2}{RT_0} \tau_k} ; \varrho = \frac{E_2}{E_1} ;$$

где

$T$  - температура в зоне контакта, °К;

$T_0$  - температура входа исходной смеси в реактор, °К;

$T_{cm}$  - температура стенки трубчатки, °К;

$T_x$  - температура хладагента в межтрубном пространстве, °К;

$R$  - газовая постоянная,  $R = 1,987 \frac{\text{кал}}{\text{моль} \cdot \text{град}}$ ;

$E_1, E_2$  - энергия активации первой и второй реакции соответственно,  $\frac{\text{кал}}{\text{моль}}$ ;  $C_0$  - начальная концентрация метанола, %;

- $t$  - параметр, сек;  
 $a$  - параметр,  $a = 2.7\%^{-1}$ ;  
 $\tau$  - условное время контакта, текущее, сек;  
 $\tau_k$  - общее время контакта, сек;  
 $C_{cm}, C_k, C_p$  - теплоемкость металлической стенки катализатора и контактных газов, соответственно,  $\frac{\text{ккал}}{\text{м}^3 \cdot \text{град}}$ ;  
 $\alpha_1, \alpha_2$  - коэффициенты теплоотдачи со стороны контактных газов к стенке трубочки и со стороны хладагента к той же стенке, соответственно,  $\frac{\text{ккал}}{\text{м}^2 \cdot \text{сек} \cdot \text{град}}$ ;  
 $d, D$  - внутренний и наружный диаметры трубки, м;  
 $q_1, q_2$  - тепловые эффекты первой и второй реакции, соответственно,  $\frac{\text{ккал}}{\text{м}^3}$ ;  
 $X$  - общая степень превращения метанола в долях единицы;  
 $Y$  - степень превращения метанола в формальдегид в долях единицы;  
 $\varepsilon$  - пористость слоя катализатора.

Используемая здесь модель идеального вытеснения оправдана только в случае, если процесс осуществляется в трубках с малым внутренним диаметром и при высоких линейных скоростях. Экспериментальные данные, приведенные в /2/, свидетельствуют о возможности использования этой модели для расчета стационарного режима при  $d = 14$  мм. Сравнение экспериментальных частотных характеристик позволит определить возможность использования модели идеального вытеснения для расчета переходных режимов.

После линеаризации /14/ переходим к уравнениям в отклонениях и, применив к последним преобразование Лапласа по переменной  $t'$  получим,

$$\left. \begin{aligned}
 \frac{d\Delta\bar{\theta}}{d\xi} &= (B_1 - A_1 S)\Delta\bar{\theta} + A_2\Delta\bar{\theta}_{cm} + B_2\Delta\bar{x} + B_3\Delta\bar{y} + B_4\Delta\bar{z} + B_5\Delta\bar{u}; \\
 0 &= A_3\Delta\bar{\theta} + (A_3 + A_4 - S)\Delta\bar{\theta}_{cm} + A_4\Delta\bar{\theta}_x + B_{13}\Delta\bar{u}; \\
 \frac{d\Delta\bar{x}}{d\xi} &= B_6\Delta\bar{\theta} + (B_7 - S)\Delta\bar{x} + B_8\Delta\bar{u}; \\
 \frac{d\Delta\bar{y}}{d\xi} &= B_9\Delta\bar{\theta} + B_{10}\Delta\bar{x} + (B_{11} - S)\Delta\bar{y} + B_{12}\Delta\bar{z} + B_{14}\Delta\bar{u}; \\
 \Delta\bar{z} &= \frac{\Delta C}{C}; \quad \Delta\bar{u} = \frac{\Delta\tau_k}{\tau_k};
 \end{aligned} \right\} 15/$$

где  $\Delta\bar{\theta}, \Delta\bar{\theta}_{cm}, \Delta\bar{x}, \Delta\bar{y}, \Delta\bar{z}, \Delta\bar{u}$  - изображения по Лапласу соответствующих отклонений параметров. Коэффициенты  $B_1, B_2, \dots, B_{14}$  зависят от ко-

ординаты и рассчитываются из уравнений стационарного режима /1/. После приведения /14/ и /15/ к выражениям в передаточных функциях и отделения действительных частей от мнимых получим:

$$\left. \begin{aligned} \frac{dU_{\Delta\bar{\theta}}}{d\xi} &= B_1 U_{\Delta\bar{\theta}} + \omega A_1 V_{\Delta\bar{\theta}} + A_2 U_{\Delta\bar{\theta}_{cm}} + B_2 U_{\Delta\bar{x}} + \\ &\quad + B_3 U_{\Delta\bar{y}} + B_4 U_{\Delta\bar{z}} + B_5 U_{\Delta\bar{u}}; \\ \frac{dV_{\Delta\bar{\theta}}}{d\xi} &= B_1 V_{\Delta\bar{\theta}} - \omega A_1 U_{\Delta\bar{\theta}} + A_2 V_{\Delta\bar{\theta}_{cm}} + B_2 V_{\Delta\bar{x}} + B_3 V_{\Delta\bar{y}}; \\ 0 &= A_3 U_{\Delta\bar{\theta}} + (A_3 + A_4) U_{\Delta\bar{\theta}_{cm}} + \omega V_{\Delta\bar{\theta}_{cm}} + A_4 U_{\Delta\bar{\theta}_x} + B_{13} U_{\Delta\bar{u}}; \\ 0 &= A_3 V_{\Delta\bar{\theta}} + (A_3 + A_4) V_{\Delta\bar{\theta}_{cm}} - \omega U_{\Delta\bar{\theta}_{cm}}; \\ \frac{dU_{\Delta\bar{x}}}{d\xi} &= B_6 U_{\Delta\bar{\theta}} + B_7 U_{\Delta\bar{x}} + \omega V_{\Delta\bar{x}} + B_8 U_{\Delta\bar{u}}, \\ \frac{dV_{\Delta\bar{x}}}{d\xi} &= B_6 V_{\Delta\bar{\theta}} + B_7 V_{\Delta\bar{\theta}} - \omega U_{\Delta\bar{x}}; \\ \frac{dU_{\Delta\bar{y}}}{d\xi} &= B_9 U_{\Delta\bar{\theta}} + B_{10} U_{\Delta\bar{x}} + B_{11} U_{\Delta\bar{y}} + \omega V_{\Delta\bar{y}} + B_{12} U_{\Delta\bar{z}} + B_{14} U_{\Delta\bar{u}}; \\ \frac{dV_{\Delta\bar{y}}}{d\xi} &= B_9 V_{\Delta\bar{\theta}} + B_{10} V_{\Delta\bar{x}} + B_{11} V_{\Delta\bar{y}} - \omega U_{\Delta\bar{y}}; \end{aligned} \right\} /16/$$

где  $U$  - действительные,  $V$  - мнимые частотные характеристики по соответствующему каналу возмущения.

В зависимости от исследуемого канала начальными условиями для решения системы /16/ могут быть:

$$U_{\Delta\bar{\theta}}(0) = V_{\Delta\bar{\theta}}(0) = U_{\Delta\bar{x}}(0) = V_{\Delta\bar{x}}(0) = U_{\Delta\bar{y}}(0) = V_{\Delta\bar{y}}(0) = 0. \quad /17/$$

Кроме того, необходимо положить

$$U_{\Delta\bar{z}} = 1; U_{\Delta\bar{u}} = U_{\Delta\bar{\theta}_x} = V_{\Delta\bar{z}} = V_{\Delta\bar{u}} = V_{\Delta\bar{\theta}_x} = 0.$$

При изменении температуры хладагента в межтрубном пространстве начальные условия аналогичны. Кроме того, необходимо положить:

$$U_{\Delta\bar{\theta}_x} = 1; U_{\Delta\bar{z}} = U_{\Delta\bar{u}} = U_{\Delta\bar{z}} = U_{\Delta\bar{u}} = V_{\Delta\bar{z}} = V_{\Delta\bar{u}} = V_{\Delta\bar{\theta}_x} = 0 \quad \text{и т.д.}$$

Решение системы /16/ для  $\xi = \xi_{г.т}$   $\xi_{г.т}$  - координата так называемой "горячей точки"; т.е. сечения слоя, в котором температура достигает максимального значения /3А/ было найдено на цифровой вычислительной машине для таких значений параметров:

$$A_1 = 600; A_2 = 6,21; A_3 = 0,0052; A_4 = 0,0127; \Delta\theta_{ог_1} = 0,85;$$

$$\Delta\theta_{ог_2} = 1,23; K_1 / T_0 / = 1,17; K_2 / T_0 / = 0,83; C = 6,5; \beta = 0,52;$$

$\eta = 0,69$ . Эти значения параметров соответствуют условиям проведения эксперимента, описанным в /3/.

На рис. 1 и 2 изображены рассчитанные амплитудофазовые частотные характеристики и приведены экспериментальные данные из [1], полученные на основе экспериментально найденной передаточной функции.

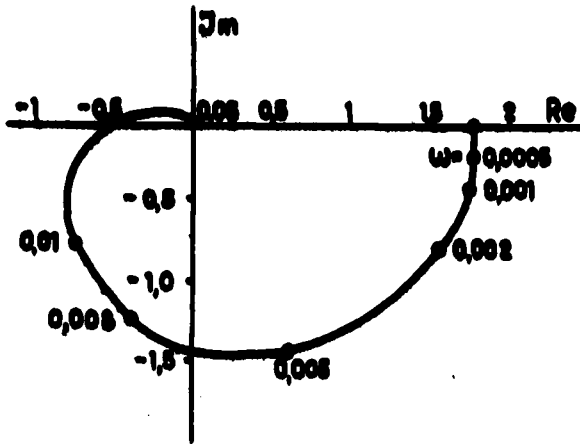


Рис. 1. Амплитудо-фаз-частотная характеристика по каналу:  $\Delta \theta_{г.т.}$  температура в "горячей точке";  $-\Delta \theta_{\lambda}$  температура хладагента в межтрубном пространстве

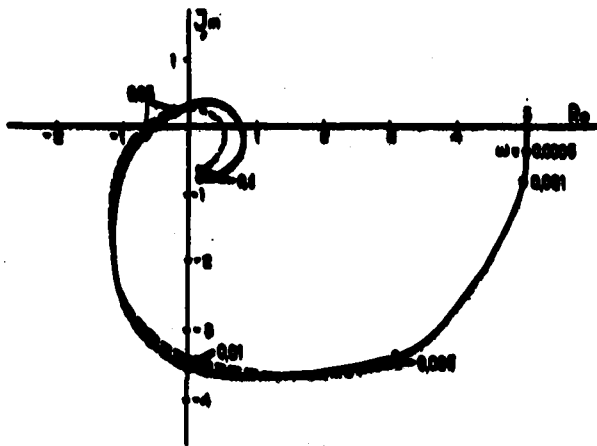


Рис. 2. Амплитудо-фаз-частотная характеристика по каналу:  $-\Delta \theta_{г.т.}$  температура в "горячей точке";  $-\Delta Z$  концентрация спирта в исходной спиртовоздушной смеси;

----- экспериментальные данные,  
 \_\_\_\_\_ рассчитанные данные.

Удовлетворительное совпадение рассчитанных и экспериментально найденных частотных характеристик свидетельствует о возможности использования модели идеального вытеснения для расчета переходных ре-



жимов в кучаеом здесь реакторе.

Поступила в редакцию 20.2.1971 г.

### Л и т е р а т у р а

1. Ю.Ш.Матрос, В.С.Весков. Расчет контактного аппарата с внутренним теплообменом как объекта регулирования, - "Химическая промышленность", 1965, 5, 357.

2. В.Г.Накрошки, Г.В.Шибанов, Г.И.Скуе, В.В.Накрошки, Ш.М.Итенберг, Х.Д.Рашрагович. Окисление метанола в формальдегид на окисных катализаторах, - "Химическая промышленность", 1965, 2, 97.

3. Ю.Ш.Матрос, В.С.Весков. Расчет контактного аппарата с внутренним теплообменом как объекта регулирования. Исследование статических характеристик, - "Химическая промышленность", 1963. 12, 863.